



## شانزدهمین سمینار ملی مهندسی سطح

بهمن ماه 1394

امتحن علوم و تکنولوژی سطح ایران

### ایجاد پوشش‌های کامپوزیتی Al/Al<sub>3</sub>Ti بر سطح زیرلایه تیتانیوم با استفاده از فرایند TIG

سجاد ارجمند<sup>1</sup>, مجید طاوسی<sup>2</sup>

<sup>1</sup>. موسسه آموزش عالی دانش پژوهان پیشو اصفهان (دانشجوی کارشناسی ارشد مهندسی مواد، گرایش جوشکاری)

<sup>2</sup>. دانشگاه صنعتی مالک اشتر اصفهان (استادیار دانشکده مهندسی مواد)

#### چکیده

هدف از انجام این تحقیق، ایجاد پوشش‌های مستحکم کامپوزیتی Al/Al<sub>3</sub>Ti بر سطح زیرلایه تیتانیوم به منظور ارتقای خواص سطحی آن می‌باشد. در این ارتباط پوشش‌دهی با استفاده از فرایند تیگ در شرایط مختلف و با بهره‌گیری از سیم جوش آلومینیوم 1100 بر روی تیتانیوم خالص انجام شد. بررسی‌های ساختاری و فازی نمونه‌های حاصل توسط پراش سنج پرتوایکس و میکروسکوپ الکترونی روبشی انجام شد. نتایج حاصل حاکی از امکان ایجاد موفق پوشش‌های کامپوزیتی Al/Al<sub>3</sub>Ti بر سطح زیرلایه تیتانیوم دارد. بالاترین مقدار اختلاط آلومینیوم و تیتانیوم در سطح و ایجاد درصد بالاتر فازهای بین‌فلزی در پایین‌ترین نرخ حرارت‌دهی قابل حصول است. افزایش حرارت ورودی باعث گسترش پهنه‌ی جوش شده و باعث خروج تیتانیم از حوضچه و تجمع آن در گرده‌ی جوش می‌شود که این امر کاهش درصد فازهای حاصل را به همراه دارد.

**واژه‌های کلیدی:** پوشش کامپوزیتی؛ تیتانیوم؛ فرایند تیگ؛ سیم جوش آلومینیوم؛ فازهای بین‌فلزی.

<sup>1</sup>. Sajad1992arjomand@gmail.com

## مقدمه

تیتانیوم و آلیاژهای آن به دلیل دارابودن خواصی همچون نسبت استحکام به وزن بالا، مقاومت به خوردگی خوب و چگالی نسبتاً پایین از اهمیت زیادی در صنایع مختلف از جمله هوافضا، شیمیایی، خودروسازی و پزشکی برخوردارند [1و2]. با این وجود تیتانیوم دارای خواص تریبولوژی و سطحی نامطلوب می‌باشد. به ویژه مقاومت به سایش پایین آلیاژهای تیتانیوم در کاربردهای پزشکی باعث شده که در دهه اخیر به طور وسیع و گسترده‌ای در اصلاح سطح این آلیاژها مطالعات زیادی به عمل آید [3]. از آنجایی که پدیده سایش تیتانیوم اساساً موجب نقايس سطحی می‌گردد، با اصلاحاتی در ریزاساختار یا ترکیب شیمیایی لایه‌های سطحی، امکان مقاوم نمودن نسبت به پدیده مذکور امکان پذیر است. بدین لحاظ استفاده از مهندسی سطح جهت ایجاد لایه‌های محافظ بر روی سطح تیتانیوم مورد توجه محققین قرار گرفته است [4].

از بین موادی که در پوشش دهی مورد استفاده قرار می‌گیرند، ترکیبات بین‌فلزی به دلیل داشتن خصوصیاتی هم‌چون مقاومت سایشی، اکسیداسیون، خوردگی، خستگی، خرزشی، نقطه ذوب بالا، چگالی نسبتاً کم، پایداری استحکام در دمای بالا و استحکام ویژه مناسب در دمای محیط مورد توجه بسیار قرار گرفته‌اند. در این رابطه انعطاف‌پذیری و چermگی پایین یکی از معایب اصلی آن‌ها به شمار می‌آید [5]. روش‌های مختلفی برای اعمال پوشش‌هایی از جنس ترکیبات بین‌فلزی بر روی سطح توسعه یافته که از این میان می‌توان به روش‌های کاشت یون، رسوب‌نشینی شیمیایی حالت بخار، رسوب‌نشینی فیزیکی حالت بخار، پاشش حرارتی و سخت کاری سطحی توسط جوشکاری اشاره نمود. با توجه به هزینه‌ی پایین فرایندهای جوشکاری در سخت کاری سطحی، امروزه این فرایندها مورد توجه بیشتری قرار گرفته‌اند. هدف عمدۀ در این روش‌ها آلیاژسازی سطح با عناصر مناسب جهت شکل‌گیری ترکیبات بین‌فلزی می‌باشد.

در سال‌های اخیر مطالعات فراوانی بر روی سیستم‌هایی مثل Ti-Ni، Ti-Cu، Ti-Fe، Ti-Al، انجام شده و با اضافه نمودن ذرات تقویت‌کننده هم‌چون TiC به صورت درجا اقدام به ساخت کامپوزیت‌های بسیار سخت و مقاوم به سایش گردیده است [6]. در این میان ترکیبات بین‌فلزی آلومینیوم-تیتانیوم شامل TiAl<sub>3</sub>، TiAl و Ti<sub>3</sub>Al به دلیل رفتار مطلوب از قبیل استحکام مکانیکی عالی، سختی مناسب، نقطه ذوب بالا، مقاومت به اکسیداسیون، سایش و خوردگی مناسب کاربردهای گوناگونی پیدا کرده است. استفاده از این ترکیبات در کاربردهای مهندسی سطح باعث بهبود خواص سطحی مواد می‌شود [7]. در ادامه به مرور پژوهش‌هایی در زمینه بهبود خواص سطحی تیتانیوم و آلیاژهای آن با استفاده از ذرات و مواد مقاوم پرداخته خواهد شد.

ریچارد<sup>1</sup> و همکاران [8]، جهت بهبود مقاومت به سایش تیتانیوم خالص تجاری، پوشش نانو سرامیک Al<sub>2</sub>O<sub>3</sub>-TiO<sub>2</sub> 13% را با روش پلاسمـا اسپری بر روی سطح تیتانیوم اعمال نمودند. میزان سختی پوشش نانو سرامیکی ایجاد شده بر روی زیرلایه تیتانیوم به میزان 920 ویکرز رسید، در حالی که میزان سختی تیتانیوم خالص

<sup>1</sup>. Richard

تجاری 280 ویکرز بود. میکلاسزووسکی<sup>۱</sup> و همکاران [۹]، نانوذرات کامپوزیتی Ti-B را بر روی زیر لایه آلفا-تیتانیوم جهت بهبود خواص آلیاژ برای کاربردهای پزشکی با فرایند جوشکاری قوی پلاسمای رسوب دهنده نمودند. این کار منجر به افزایش سختی سطح از 280 ویکرز در زیر لایه تیتانیوم به 900 ویکرز بعد از پوشش دهنده توسط نانوذرات کامپوزیتی شد. بایلی<sup>۲</sup> و همکاران [۱۰]، به منظور بهبود خواص تریبولوژیکی تیتانیوم خالص تجاری، این فلز را در یک جعبه فولادی کربن دهنده نمودند. مشاهده شد لایه اکسیدی  $TiO_2$  و کاربید تیتانیوم  $TiC$  که در حین کربن دهنده بر روی سطح تشکیل شدند، موجب افزایش سختی سطح تیتانیوم از 280 ویکرز به بیش از 1000 ویکرز شدند. لنیوتسو<sup>۳</sup> و همکاران [۱۱]، ساختار و خواص سطحی تیتانیوم را برای افزایش سختی و مقاومت به سایش بعد از آلیاژ سازی با فرایند جوشکاری پرتو الکترونی<sup>۴</sup> و کربن بررسی نمودند. کربن در سطح تیتانیوم منجر به شکل گیری کاربیدهای سخت  $TiC$  گردید. این کاربیدهای سخت بهبود مقاومت به سایش تیتانیوم و افزایش سختی سطح را به دنبال داشت، به طوری که سختی را در سطح تیتانیوم از 280 ویکرز به 800 ویکرز رسانید.

با وجود مطالعات گسترده‌ی موجود در زمینه‌ی بهبود خواص سطحی تیتانیوم، کمتر تحقیقی به بررسی دقیق پارامترهای فرایند تیگ در ایجاد پوشش‌های کامپوزیتی شامل ترکیبات بین فلزی بر سطح تیتانیم پرداخته است. در این رابطه هدف از این تحقیق استفاده از فرایند جوشکاری تیگ به منظور ایجاد پوشش‌های کامپوزیتی  $Al/Al_3Ti$  بر سطح زیر لایه تیتانیوم می‌باشد.

## مواد و روش تحقیق

در این تحقیق، از ورق تیتانیوم خالص تجاری (جدول ۱) با ضخامت 2 میلی‌متر به عنوان زیر لایه و از آلومینیوم خالص 1100 (جدول ۲) به عنوان سیم جوش با قطر 0/2 میلی‌متر بهره گرفته شد. به منظور انجام فرایند پوشش دهنده، نمونه‌هایی با ابعاد  $3 \times 3$  سانتی‌متر و ضخامت 0/2 سانتی‌متر از ورق تیتانیوم توسط گیوتین بریده و برای انجام فرایند آماده سازی گردید. قبل از انجام فرایند جوشکاری، زیر لایه تیتانیوم و سیم جوش آلومینیوم توسط متیل اتیل کتون تمیز کاری چربی‌زدایی شدند. جهت انجام فرایند پوشش دهنده از روش جوشکاری تیگ پالسی استفاده شد. در تمامی جوشکاری‌ها، ولتاژ قوس 10 ولت، سرعت جوشکاری 0/2-0/15 سانتی‌متر بر ثانیه و زمان پالس 0/3 ثانیه ثابت در نظر گرفته شد و جوشکاری در شدت جریان‌های حداقل و حداقل مختلف صورت گرفت. در این رابطه شرایط مختلف جوشکاری در جدول ۳ آورده شده است. شایان ذکر است که در تمامی آزمون‌ها جهت حفاظت مناسب حوضچه مذاب از محیط اطراف، از گاز آرگون با خلوص 99/99 درصد استفاده گردید.

<sup>1</sup>. Miklaszewski

<sup>2</sup>. Plasma Arc Welding

<sup>3</sup>. Bailey

<sup>4</sup>. Lenivtseva

<sup>5</sup>. Electron Beam Welding

آزمون های پراش سنجی پرتوی ایکس با استفاده از دستگاه مدل Pro MPD X'Pert Panalytical هلند انجام شد. تیوب پرتو ایکس مورد استفاده از نوع مسی با طول موج  $1/542\text{ \AA}$ ، ولتاژ کاری  $40\text{ kV}$ ، جریان  $25\text{ mA}$  و اندازه گام  $0,03^\circ$  درجه انتخاب شد. بررسی های ساختاری نمونه های حاصل از جوشکاری، توسط میکروسکوپ الکترونی روبشی گسیل میدانی مدل Mira 3-XMU موجود در مرکز پژوهش متالورژی رازی کرج انجام شد. به منظور بررسی ماکروساختی در منطقه جوش، متأثر از حرارت جوش و فلز پایه از دستگاه سختی سنجی مدل ASTM E384-HV، با بار اعمالی  $\text{Kgf}$  ۱۰، زمان بارگذاری  $10\text{ ثانیه}$  و بزرگنمایی  $50\times$  برابر استفاده گردید.

## نتایج و بحث

پارامترهای مختلف فرایند جوشکاری تیگ پالسی شامل سرعت جوشکاری، ولتاژ جوشکاری، دمای پیش گرم نمونه، اتمسفر محافظ و شدت جریان های حداقل و حداقل مورد استفاده در جوشکاری بر خواص ساختاری و فازی پوشش های حاصل از این فرایند موثر است. در این تحقیق به منظور امکان انجام مقایسه، تمامی پارامترهای فرایند تیگ ثابت در نظر گرفته شده و تلاش شد تا با تغییر شدت جریان حداقل و حداقل، بهینه شرایط جوشکاری برای حصول بالاترین میزان اختلاط آلومینیوم در تیتانیوم و به دنبال آن بالاترین درصد ترکیبات بین فلزی در سطح حاصل آید. در این ارتباط فرایند جوشکاری سطحی در شرایط ذکر شده در جدول ۳ انجام و نمونه های حاصل پس از حذف گردهی جوش مورد بررسی و ارزیابی قرار گرفت.

شکل ۱ تصاویر میکروسکوپی الکترونی روبشی از سطح نمونه های حاصل از فرایند جوشکاری در شرایط مختلف را نشان می دهد. همانگونه که مشاهده می شود، ساختار تمامی نمونه ها شامل رسوباتی از فازهای با رنگ روشن می باشد که در زمینه ای از فاز تیره رنگ توزیع شده است. با توجه به این تصاویر، شکل رسوبات نمونه  $3$  با سه نمونه  $1$  دیگر متفاوت است. به منظور تعیین نوع فازهای موجود تلاش شد تا از آنالیز عنصری EDS و آنالیز پراش پرتو ایکس بهره گرفته شود. نتایج آنالیز عنصری مربوط به زمینه و رسوبات مورد نظر در تمامی نمونه ها نشان از آن داشت که زمینه ای تیره رنگ در این تصاویر مربوط به آلومینیوم بوده و رسوبات روشن موجود در ساختار، مربوط به ترکیب بین فلزی  $\text{Al}_3\text{Ti}$  می باشد. به عنوان نمونه در شکل ۲، آنالیز عنصری به همراه جدول درصد اتمی عناصر مربوط به زمینه و رسوبات (جدول ۴) در مورد نمونه شماره  $1$  آورده شده است که در تایید این مطلب می باشد.

به منظور درک صحیح تر این موضوع و تعیین دقیق نوع فازهای حاصل، آنالیز پراش پرتو ایکس نمونه های جوشکاری شده تحت شرایط مختلف در شکل ۳ آورده شده است. با توجه به این شکل مشاهده می شود که ساختار پوشش های حاصل، شامل پیک هایی از آلومینیوم به همراه پیک های ظریفی از تیتانیوم و ترکیب بین فلزی  $\text{Al}_3\text{Ti}$  می باشد. اگرچه نوع رسوبات موجود در ساختار نمونه های مورد بررسی یکسان است، شدت پیک های حاصل متفاوت بوده و نشان از تفاوت درصد رسوبات موجود در ساختار دارد. در هر حال، تصاویر و

مطلوب ارائه شده نشان می‌دهد که ساختار کامپوزیتی مورد نظر به خوبی در سطح تشکیل شده است که این موضوع نوید بخش بهبود شرایط سطحی تیتانیوم زمینه می‌باشد.

همانگونه که اشاره شد، ساختار تمامی پوشش‌های کامپوزیتی مشابه بوده و شامل رسوباتی از فازهای مختلف می‌باشد. در راستای تحلیل چگونگی تغییر ریزساختار با تغییر پارامترهای جوشکاری می‌توان به مقایسه‌های نمونه‌های مختلف پرداخت. همانطور که در تصاویر میکروساختاری و الگوهای پراش مشاهده می‌شود، تغییرات نمونه‌های اول و دوم تنها در چگالی جریان حداکثر با یکدیگر متفاوت هستند. همانطور که مشاهده می‌شود، کاهش شدت جریان حداکثر در این نمونه‌ها تاثیری بر شکل رسوبات نداشته و تمامی رسوبات با جوانه‌زنی مرکزی و رشد در چهار جهت عمود بر هم شکل گرفته‌اند. این درحالی است که با افزایش چگالی جریان حداقل در مورد نمونه شماره 3 (از 35 به 40 آمپر) مورفولوژی ترکیب بین فلزی تغییر نموده است. در واقع در این حالت حرارت بالاتری در نمونه وارد شده و امکان رشد بیشتر فازها را فراهم آورده است. البته لازم به توجه است که در مورد نمونه 4 که در مقایسه‌ی نمونه 3 دارای جریان حداکثر بالاتری است، مجدداً رسوبات به صورت رشد ایجاد شده در نمونه‌های 1 و 2، رشد نموده‌اند. در راستای درک صحیح این موضوع و امکان مقایسه‌ی درصد رسوبات نمونه‌های 1، 2 و 4، تصاویر میکروسکوپی مربوط به این سه نمونه در شکل 4 قابل توجه است. همانطور که مشاهده می‌شود بالاترین درصد رسوبات در نمونه شماره 2 یعنی نمونه‌ای با حداقل حرارت ورودی شکل گرفته است. در واقع دلیل اصلی درصد کمتر رسوبات در نمونه‌ای با حرارت ورودی بالاتر را می‌توان به خروج تیتانیوم موجود از حوضچه و وارد شدن آن به گرده‌ی جوش نسبت داد. در حقیقت این موضوع درصد تیتانیوم موجود در حوضچه‌ی اصلی را کاهش داده و کاهش درصد رسوبات را به همراه دارد. این موضوع به خوبی با مقایسه‌ی الگوهای پراش موجود در شکل 3 نیز قابل اثبات است.

در راستای اثبات این ادعا، تلاش شد تا تغییرات سختی در مقطع عرضی جوش مورد ارزیابی قرار گیرد. در شکل 5 مقادیر سختی در مقطع عرضی جوش در مورد نمونه‌های مختلف ارائه شده است. همانطور که مشاهده می‌شود، بالاترین مقدار سختی مربوط به نمونه 2 با کمترین حرارت ورودی و پایین‌ترین مقدار سختی مربوط به نمونه 4 با بالاترین مقدار حرارت ورودی می‌باشد. در واقع این موضوع نیز تاییدی بر این ادعاست که حرارت ورودی بالاتر برای سخت‌کاری سطحی تیتانیوم توسط سیم جوش آلومینیوم مناسب نبوده و ورود تیتانیوم به حوضچه و حذف آن را به همراه دارد.

### نتیجه گیری

- با استفاده از فرایند جوشکاری تیگ سیم جوش آلومینیوم بر سطح تیتانیوم، امکان ایجاد ساختار کامپوزیتی Al/Al<sub>3</sub>Ti بر سطح وجود دارد.
- ساختار پوشش‌های کامپوزیتی حاصل شامل رسوباتی از فازهای Al<sub>3</sub>Ti و تیتانیوم در زمینه‌ی آلومینیوم می‌باشد.

3- رسوبات تیتانیوم در مرزدانه های آلومینیوم رسوب نموده و رسوبات ترکیب بین فلزی در ساختار توزیع می شوند.

4- شکل رسوبات تحت تاثیر پارامترهای جوشکاری قرار دارد.

5- با افزایش حرارت ورودی در حین اتصال، از درصد ترکیبات بین فلزی در سطح کاسته و سختی پایین تری حاصل می شود. در این مورد لازم است تا جوشکاری با حداقل حرارت ورودی دنبال شود.

#### مراجع

1. ا، ویلیام، ساختار، خواص و کاربرد آلیاژ های مهندسی، 1378، تهران، انتشارات دانشگاه صنعتی شریف.
2. ج، لوترینگ، آلیاژ های تیتانیوم، 1393، تهران، انتشارات دانشگاه صنعتی شریف.
3. C. Chu, "Surface modification of titanium, titanium alloys, and related materials for biomedical applications", *Materials Science Engineering: R: Reports*, 47, 2004, 49–121.
4. J. Mao, "Microstructure and mechanical properties of GTA weldments of titanium matrix composites prepared with or without current pulsing" *Transactions of Nonferrous Metals Society of China*, 24, 2014, 1393-1399.
5. A. Zhecheva, "Enhancing the microstructure and properties of titanium alloys through nitridig and other surface engineering methods", *Surface and Coatings Technology*, 200, 2005, 2192-2207.
6. G. Sauthoff, "Multiphase intermetallic alloys for structural applications Intermetallics", *Intermetallics*, 8, 2000, 1101-1109.
7. M. Hoseini, , "Tribological investigation of coatings for artificial joints", *Wear*, 264, 2008, 958–966.
8. C. Richard, "Corrosion and wear behavior of thermally sprayed nano ceramic coatings on commercially pure Titanium and Ti–13Nb–13Zr substrate", *International Journal of Refractory Metals and Hard Materials*, 28, 2009, 115-123.
9. A. Miklaszewski, "Plasma surface modification of titanium by TiB precipitation for biomedical applications", *Surface and Coatings Technology*, 206, 2011, 330-337.
10. R. Bailey, "Pack carburisation of commercially pure titanium with limited oxygen diffusion for improved tribological properties", *Surface and Coatings Technology*, 261, 2014, 28-34.
11. O.G. Lenivtseva, "Structure and properties of titanium surface layers after electron beam alloying with powder mixtures containing carbon", *Applied Surface Science*, 355, 2015, 320-326.

شانزدهمین سمینار ملی مهندسی سطح

جدول 1: ترکیب شیمیایی تیتانیوم خالص تجاری مورد استفاده.

عنصر	تیتانیوم	نیتروژن	اکسیژن	آهن	هیدروژن	کربن	بقیه
درصد وزنی	98/65	0/05	0/4	0/5	0/015	0/08	0/3

جدول 2: ترکیب شیمیایی سیم جوش آلمینیوم خالص تجاری 1100 مورد استفاده.

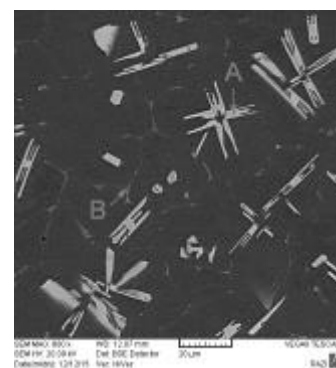
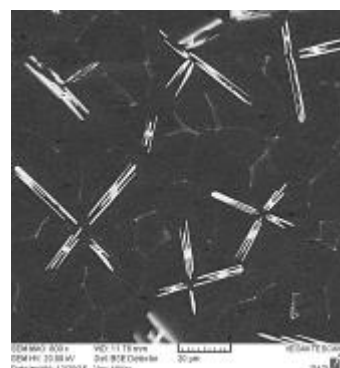
عنصر	آلومینیوم	آهن	سیلیسیم	مس	روی	سرب	وانادیوم	منزیم	بقیه
درصد وزنی	99/70	0/13	0/07	0/04	0/02	0/02	0/008	0/005	0/07

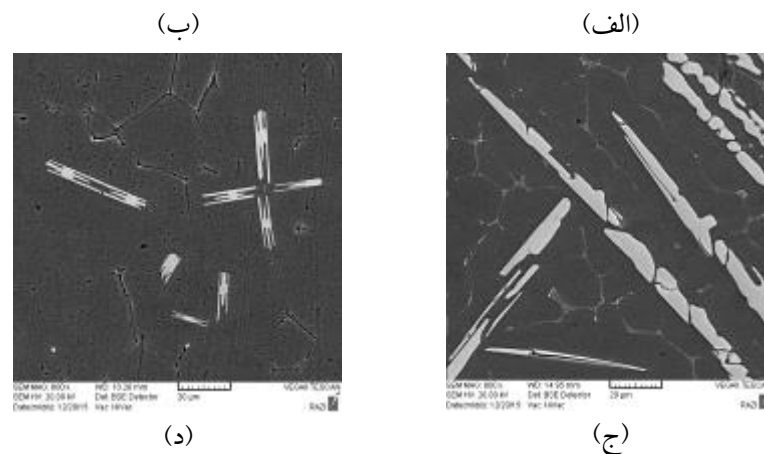
جدول 3: تغییرات شدت جریان جوشکاری حداکثر و حداقل مورد استفاده در این تحقیق.

شماره نمونه	شدت جریان حداکثر و حداقل (آمپر)
1	80 35
2	70 35
3	80 40
4	85 40

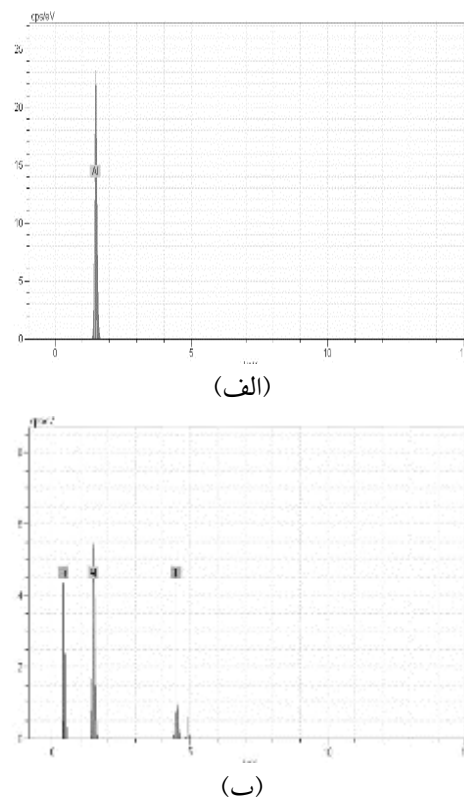
جدول 4: درصد اتمی عناصر مربوط به زمینه و رسوبات در مورد نمونه شماره 1.

پیکان های نشان داده شده در شکل (1)، نمونه 1	درصد اتمی
A	Al 76/95%.
	Ti 23/05%.
B	Al %100



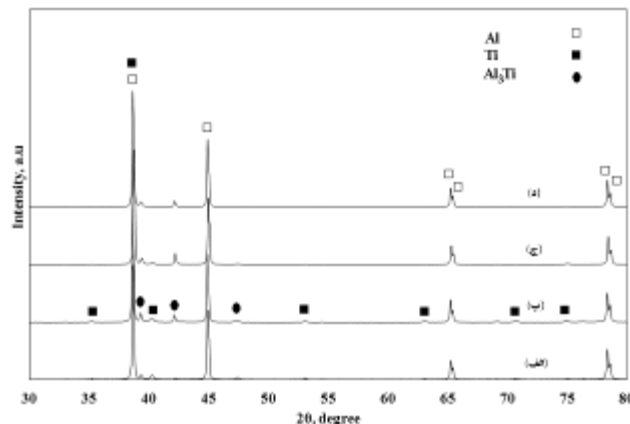


شکل 1: تصاویر میکروسکوپی الکترونی روبشی از سطح نمونه های جوشکاری شده در شرایط مختلف مندرج در جدول 3، الف) نمونه شماره 1، ب) نمونه شماره 2، ج) نمونه شماره 3، د) نمونه شماره 4

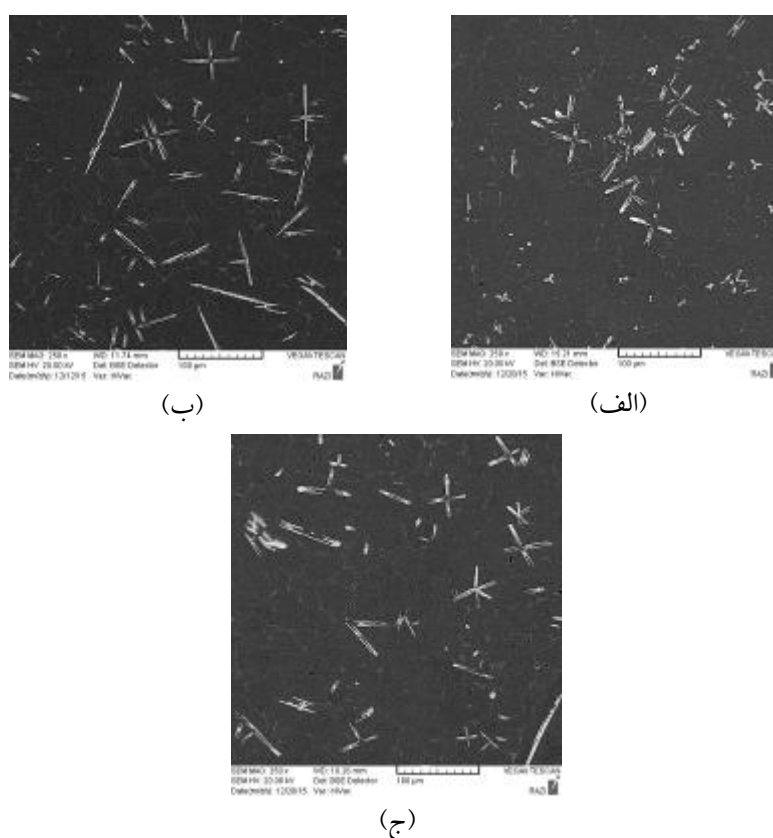


شکل 2: نتایج آنالیز عنصری فازهای (الف) زمینه و (ب) رسوبات روشن حاصل در نمونه شماره 1.

شانزدهمین سمینار ملی مهندسی سطح

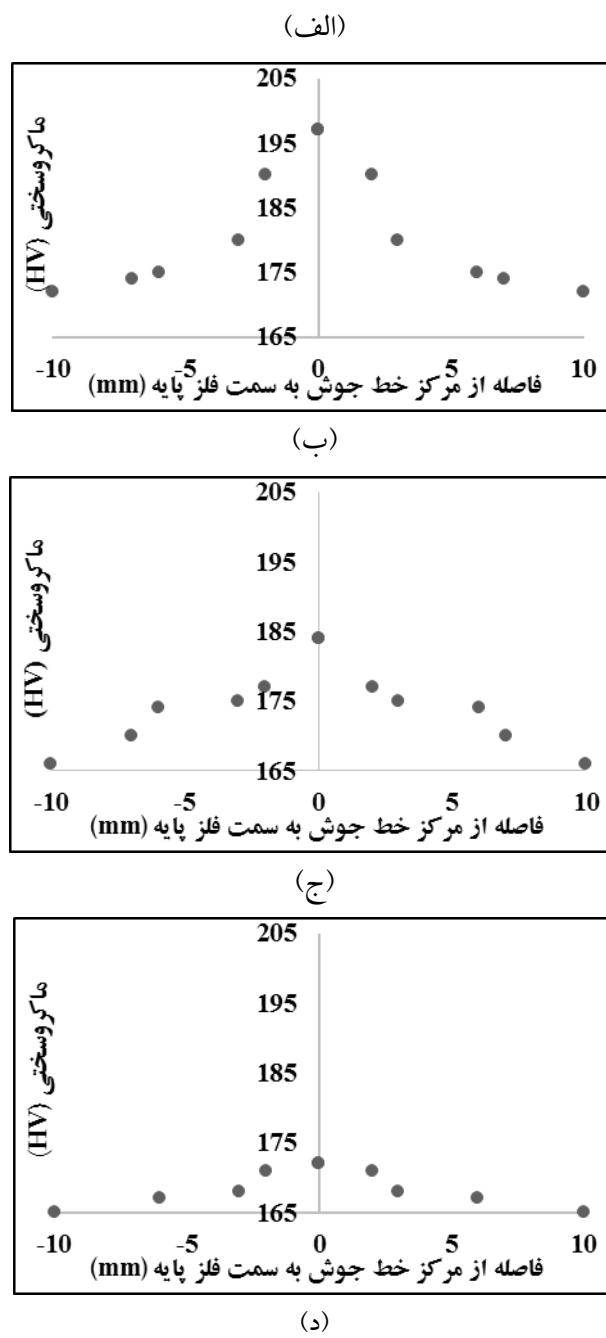


شکل 3: الگوهای پراش پرتوایکس شدت بر حسب  $2\theta$ , مربوط به سطح نمونه‌های جوشکاری شده در شرایط مختلف.



شکل 4: تصاویر میکروسکوپی الکترونی روبشی از نمونه‌های (الف) 1، (ب) 2 و (ج) 4





شکل 5: تغییرات ماکروسختی (HV) از مرکز خط جوش به سمت فلز پایه (mm) مربوط به نمونه های الف) 1، ب) 2، ج) 3 و د) 4